

## تعیین ضریب رفتار قاب‌های خمشی فولادی با تیرهای خرپایی ویژه

بهرام نوائی‌نیا<sup>۱\*</sup>، پریسا اسماعیل‌تبار نشلی<sup>۲</sup> و آزاده‌السادات اصغری<sup>۳</sup>

### چکیده

### اطلاعات مقاله

در چند دهه اخیر استفاده از قاب‌های خمشی خرپایی ویژه به عنوان یک نمونه نسبتاً جدید از سیستم قاب فولادی برای مناطق زلزله خیز توسعه یافته است. این قاب‌ها انرژی زمین‌لرزه را از طریق بخش‌های ویژه شکل‌پذیر واقع شده در نزدیکی وسط دهانه شاهتیر خرپایی مستهلك می‌کنند. در این تحقیق ضریب رفتار قاب‌های خمشی فولادی با تیرهای خرپایی ویژه ناشی از شکل‌پذیری و اضافه مقاومت با مدل‌سازی به روش اجزام‌حدود به کمک تحلیل استاتیکی فزاینده غیرخطی (pushover) تعیین شده است. به‌منظور درنظرگرفتن رفتار غیرخطی مصالح در تشکیل مفاصل پلاستیک از مدل الاستوپلاستیک استفاده شده است. محل تشکیل مفاصل پلاستیک در ابتدا و انتهای تیرها و ستون‌ها فرض گردیده است. تحلیل‌ها برای دو حالت با قطری‌های ضربدری و ویراندیل قاب‌های دو و سه دهانه برای سازه‌های ۳ الی ۸ طبقه صورت پذیرفته و مورد ارزیابی قرار گرفته است. نتایج نشان می‌دهد که ضریب رفتار قاب ویراندیل بیشتر از ضریب رفتار قاب ضربدری است که معرف عملکرد لرزه‌ای مناسب‌تر این سازه‌ها می‌باشد. همچنین نتایج نشان می‌دهند که ضریب رفتار در حالت کلی بهشت وابسته به ارتفاع سازه است به‌طوری‌که با افزایش ارتفاع سازه این ضریب به‌طور قابل توجهی افزایش می‌باید.

**واژگان کلیدی:**  
قاب‌های خمشی خرپایی ویژه،  
تحلیل استاتیکی غیرخطی،  
ضریب شکل‌پذیری،  
ضریب اضافه مقاومت،  
ضریب رفتار.

استفاده از قاب با تیرهای خرپایی ویژه<sup>۱</sup> (STMF) است. از تیرهای خرپایی در سازه‌های فولادی به‌منظور انتقال بارهای قائم و نیز همزمان به عنوان عضو افقی در سیستم‌های مقاوم دربرابر نیروی جانبی استفاده می‌شود. در قاب‌های خمشی با تیرهای خرپایی ویژه، منطقه ایجاد تغییرشکل پلاستیک و جذب انرژی در ناحیه میانی خرپا می‌باشد. در این ناحیه، نیروی برشی حاصل از بار قائم اندک بوده و با قراردادن اعضای مورب ضعیفتر و یا حذف این اعضا می‌توان آن منطقه را مستعد تغییرشکل‌های غیراستاتیک و جذب انرژی زلزله ساخت، لذا دارای مکانیزم مناسب خرابی در برابر زلزله می‌باشند. خرپاهای

### ۱- مقدمه

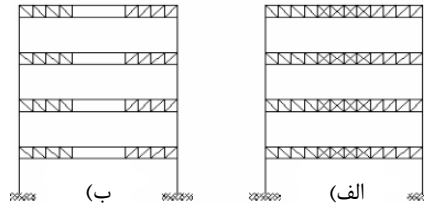
باتوجه به نوع کاربری بعضی سازه‌ها نظیر ساختمان‌های تجاری و صنعتی، شرایط طراحی ایجاب می‌کند که فاصله ستون‌ها بیش از مقدار متعارف باشد و در این حالت گزینه‌های گوناگونی برای طراحی سیستم باربر ساختمان وجود دارد. یکی از مؤثرترین و پرکاربردترین این گزینه‌ها

\* پست الکترونیک نویسنده مسئول: navayi@nit.ac.ir  
 ۱. دانشکده مهندسی عمران، دانشگاه صنعتی نوشیروانی بابل  
 ۲. کارشناس ارشد مهندسی عمران، گرایش سازه، دانشگاه صنعتی نوشیروانی بابل  
 ۳. دانشجوی دکترای مهندسی عمران، گرایش سازه، دانشگاه صنعتی نوشیروانی بابل

نوع سیستم و جنبه‌های ویژه آن را در نظر خواهند گرفت و بر مبنای آن می‌توان مجموعه‌ای از متغیرهایی را تعریف کرد که رفتار سیستم را تعیین می‌کنند. در اکثر آیین‌نامه‌ها از جمله آیین‌نامه طراحی ساختمان‌ها در برابر زلزله، استاندارد ۲۸۰۰ ایران [۶]، تعیین نیروهای جانبی به روش استاتیکی معادل صورت می‌گیرد که در آن ضریب رفتار (R) یک متغیر اساسی است. این ضریب منعکس‌کننده اضافه مقاومت، شکل‌پذیری، پایداری، نحوه شکست، قدرت جذب انرژی، ضریب میرایی و رفتار کلی سازه در مقابل زلزله می‌باشد. با توجه به اهمیت ضریب رفتار و تأثیر آن بر نتایج طراحی سازه‌ها، تحقیقات بسیار وسیعی در این خصوص صورت پذیرفته که روش یانگ [۷] و فریمن [۸] نسبتاً شاخص می‌باشد. روش فریمن که متکی بر طیف ظرفیت می‌باشد نیاز به استفاده از یک روند سعی و خطایی دارد که فرایندی وقت‌گیر می‌باشد. این محقق مقدار ضریب رفتار را به صورت حاصل‌ضرب دو ضریب اصلی ظرفیت سازه و نیاز زلزله بیان می‌کند که در بردارنده پارامترهایی همچون تأثیر سیستم سازه‌ای، پیکربندی، مصالح به کار رفته، وزن، ابعاد در پلان و ارتفاع، ضرایب بار، نامعینی سازه، مشخصات اتلاف انرژی، ویژگی‌های رفتار غیرخطی مصالح سازه، مکانیزم خرابی و غیره در سازه می‌باشد. در حالی که در روش یانگ ضریب رفتار سازه حاصل ضرب سه پارامتر ضریب اضافه‌ مقاومت، ضریب شکل‌پذیری و ضریب نامعینی بیان شده است. روش یانگ در مقایسه با روش فریمن دارای مبانی ساده‌تر و در عین حال کاربردی‌تری می‌باشد.

علاوه بر این در سال‌های اخیر مطالعات گسترده‌ای در خصوص ضریب رفتار صورت گرفته است. Akbari and Maherی [۹] با بررسی ضریب رفتار قاب‌های بتن مسلح با مهاربندی‌های فولادی ضربدری و زانویی نشان دادند که در سیستم‌های دوگانه کوتاه با مهاربند زانویی، مقادیر شکل‌پذیری و در نتیجه ضریب رفتار بزرگ‌تر از مقادیر مربوطه به قاب‌های با مهاربند ضربدری است. Huang و Balendra [۱۰] نشان دادند که اضافه‌ مقاومت و

ویژه را می‌توان به فرم قطری‌های ضربدری یا ناحیه میانی به صورت بازشو به شکل مستطیل (ویرندیل) طرح کرد [۴-۱]. نمونه‌ای از این نوع خرپاها در شکل ۱ نشان داده شده‌اند.



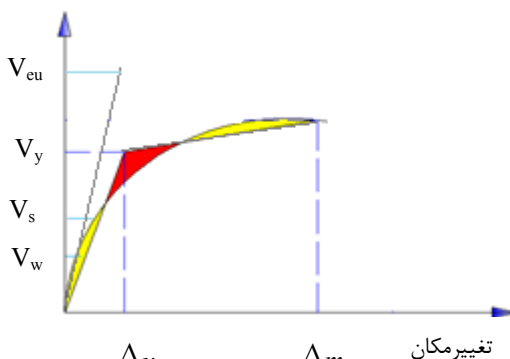
شکل ۱- قاب با تیر خرپایی ویژه (الف) با قطری‌های ضربدری، (ب) ویرندیل

این قاب‌ها در مقایسه با قاب‌های ساخته شده از تیرورق‌ها اقتصادی‌تر، با اجرای ساده‌تر در اتصال به ستون و نیز سبک‌تر هستند. علاوه بر این، جان باز این خرپاها امکان استفاده بهتر از فضای مورد نیاز تأسیسات را فراهم می‌سازد. از دیگر مزایای سیستم (STMF) آن است که با کمک شاهتیرهای عمیق‌تر و با افزایش اعصابی جان در قسمت‌های ویژه می‌توان درجه نامعینی را افزایش داده و در نتیجه به سختی سازه‌ای کلی بیشتری دست یافت. علاوه بر مزایای اشاره شده، در این سازه‌ها جزئیات اتصال تیر به ستون نیز ساده می‌باشد. عیب عمدۀ چنین سیستم‌های سازه‌ای آن است که به دلیل سختی و مقاومت بیشتر خرپاها در مقایسه با ستون‌ها، در اغلب موارد محل تشکیل مفاصل پلاستیک در ستون‌ها بوده، لذا شکل‌پذیری کمتری حاصل می‌گردد که در طراحی چندان مطلوب نمی‌باشد. به دلیل ویژگی‌های بر Shermande شده استفاده از این سیستم‌ها در ساختمان‌هایی نظیر بیمارستان‌ها و ساختمان‌های تجاری و صنعتی در بعضی کشورها مقبولیت یافته است. نیازها و کاربردهای این سیستم‌ها سبب انجام تحقیقات نسبتاً گسترده‌ای به خصوص در دهه نود قرن بیستم گردیده که منجر به بسط و توسعه آیین‌نامه‌های طراحی در این زمینه شدند [۳، ۲ و ۵].

اغلب آیین‌نامه‌های طراحی لرزه‌ای معیارهایی جهت طراحی سیستم‌های سازه‌ای ارائه می‌دهند. این معیارها

ناشی از رفتار الاستیک سازه توسط این ضریب به نیروهای طراحی تنزل می‌باشد تا بدین ترتیب عملکرد واقعی از سازه انتظار داشته باشیم. بدین منظور براساس پیشنهاد یانگ [۷] رابطه برش‌پایه-تغییرمکان در یک سازه چند درجه آزادی را می‌توان به صورت شکل ۲ نمایش داد. این شکل در واقع معرف پاسخ سازه تحت تغییرمکان‌های افزایشی می‌باشد که می‌تواند به صورت دو خطی ایده‌آل شده و براساس آن مؤلفه‌های ضریب رفتار را تعیین نمود. در این شکل  $V_{eu}$  حداکثر نیروی برش‌پایه با رفتار کاملاً ارجاعی سازه،  $V_y$  مقاومت تسلیم،  $V_s$  نیروی برشی متناظر با اولین نقطه تسلیم سازه،  $\Delta_m$  تغییرمکان حداکثر،  $\Delta_y$  تغییرمکان متناظر با  $V_y$  و  $V_w$  نیروی برش‌پایه طراحی سازه می‌باشد.

برش‌پایه



شکل ۲- منحنی ظرفیت حاصل از تحلیل پوش آور

شکل‌پذیری سازه ( $\mu$ ) که نشان‌دهنده ظرفیت جذب و استهلاک انرژی در سازه می‌باشد، تابعی از رفتار سازه پس از تسلیم آن بوده و برابر با نسبت حداکثر تغییرمکان  $\Delta_m$  به تغییرمکان نقطه نظری تسلیم سازه  $\Delta_y$  می‌باشد. [۷]

ضریب رفتار حاصل از این منحنی دوخطی به روش شکل‌پذیری یانگ عبارت است از:

$$R_w = \frac{V_{eu}}{V_w} = \frac{V_{eu}}{V_y} \times \frac{V_y}{V_s} \times \frac{V_s}{V_w} = R_\mu \cdot R_S \cdot \gamma \quad (1)$$

که در آن  $R_\mu$  ضریب شکل‌پذیری،  $R_S$  ضریب اضافه‌ مقاومت،  $\gamma$  ضریب تنش مجاز سازه می‌باشد. [۷]

شکل‌پذیری سازه در سیستم‌های قاب‌خمشی بامهاربندی ضربدری X-شکل و V-شکل تقریباً یکسان است. Asgarian [۱۱] نیز با بررسی ضریب رفتار سیستم قاب خمشی با مهاربندی‌های کمانش‌نایپذیر به این نتیجه رسید که با افزایش تعداد طبقات، شکل‌پذیری و اضافه‌ مقاومت سازه کاهش و به دنبال آن ضریب رفتار سازه نیز کاهش می‌یابد. Choi و Kim [۱۲] با بررسی ضریب رفتار قاب خمشی معمولی و ویژه با مهاربندی هشتی نتیجه گرفتند که با افزایش طول دهانه در این نوع سیستم‌ها شکل‌پذیری و اضافه‌ مقاومت سازه افزایش و در نتیجه ضریب رفتار نیز افزایش می‌یابد. واثقی و اسماعیل تبار [۱۳] با بررسی ضریب رفتار قاب‌های مجهر به میراگر اصطکاکی نتیجه گرفتند که عملکرد میراگر با توجه به بارلغزش آن در شکل‌پذیری و ضریب رفتار سازه مؤثر می‌باشد و همچنین با توجه به مقدار شکل‌پذیری سازه می‌توان عملکرد بهینه میراگر را مشخص نمود.

به دلیل اهمیت ضریب رفتار در استاندارد ۲۸۰۰ ایران که از پارامترهای اساسی بارگذاری لرزه‌ای می‌باشد و به دلیل قابلیت بسیار مناسب روش تحلیل پوش آور در تعیین ضریب رفتار سازه‌ها، که تاکنون در آنالیز قاب‌های خربائی ویژه به کار گرفته نشده، در این تحقیق، ضریب رفتار ناشی از شکل‌پذیری و اضافه‌ مقاومت قاب‌های خربائی ویژه در دو حالت با قطری‌های ضربدری و ویرندیل مورد ارزیابی و مقایسه قرار می‌گیرد. بدین منظور چندین نمونه قاب با تغییر پارامترهای مختلف نظری تعداد دهانه و تعداد طبقات به روش اجزا محدود تحت تحلیل پوش آور قرار گرفته و در نهایت ضریب رفتار کلی این سازه‌ها براساس استاندارد ۲۸۰۰ ایران [۶] برای سطح عملکرد ایمنی جانی (LS) ارزیابی گردیدند.

## ۲- تئوری

ضریب رفتار نسبتی از حداکثر نیروی لرزه‌ای سازه در حالت خطی به نیروی طراحی لرزه‌ای می‌باشد. نیروهای لرزه‌ای

در تحقیق حاضر  $\alpha = 2\%$  درنظر گرفته شده که براساس آن مقدار  $a$  و  $b$  به کمک درونیابی به ترتیب برابر  $0/975$  و  $0/360$  می‌باشد.

### ۲-۲- ضریب اضافه مقاومت $R_S$

ضریب اضافه مقاومت نسبت نیروی برشی متناظر با مکانیزم در سازه،  $V_w$ ، به نیروی برشی متناظر با اولین نقطه تسلیم در سازه،  $V_s$ ، می‌باشد. به منظور درنظر گرفتن دقیق‌تر  $R_s$  به دلیل وجود عدم اطمینان‌ها نظری اختلاف بین تنش اسمی واقعی جاری‌شدن، اثر المان‌های غیرسازه‌ای در ساختمان‌ها و نظایر آن، مرجع [۷] رابطه زیر را پیشنهاد نموده است:

$$R_{s0} = R_s \cdot F_1 \cdot F_2 \cdot F_3 \dots \quad (4)$$

که  $F_1$  به منظور درنظر گرفتن اختلاف بین حد جاری‌شدن اسمی و حد جاری‌شدن واقعی سازه می‌باشد این ضریب برای سازه‌های فولادی برابر  $1/105$  پیشنهاد شده است [۹].  $F_2$  به منظور درنظر گرفتن اثر افزایش تنش جاری‌شدن در اثر افزایش نرخ تغییر کرنش به هنگام وقوع زلزله اعمال می‌گردد. مطالعات آماری نشان داده است که مقدار  $1/11$  برای این ضریب مناسب می‌باشد [۷]. سایر ضرایب، نظری  $F_3$  به منظور درنظر گرفتن تأثیر عوامل مختلفی همچون اثر اجزای غیرسازه‌ای و نحوه توزیع نیروی جانبی در طبقات و غیره می‌باشند که مقدار آن باتوجه به عدم انجام مطالعات مناسب برابر واحد پیشنهاد گردیده است [۷]. به این ترتیب بنا به پیشنهاد منابع فوق الذکر حاصل ضرب کلیه ضرایب معادل  $1/155$  درنظر گرفته شده است [۷].

### ۳-۲- ضریب تنش مجاز

نسبت  $V_s$  به  $V_w$  که با ضریب  $Y$  بیان می‌شود، در واقع رابطه بین ضریب رفتار در روش طراحی براساس تنش مجاز و طراحی براساس حالت حدی است که بیان کننده اختلاف موجود در الگوی طراحی آیین‌نامه‌های مختلف

### ۱-۲- ضریب شکل‌پذیری $R_\mu$

سازه‌ها در اثر وجود شکل‌پذیری مقدار قابل توجهی از انرژی زلزله را به صورت هیسترزیس تلف می‌کنند که مقدار این اتلاف انرژی به مقدار شکل‌پذیری کل سازه بستگی دارد. در حالت کلی عوامل مختلفی بر ضریب شکل‌پذیری سازه تأثیر دارند که از جمله می‌توان به نوع مصالح، نوع سازه مقاوم، هندسه سازه، خاک منطقه، بارگذاری، مدل نیرو-تغییرشکل و همچنین مشارکت مودهای بالاتر اشاره نمود. لذا تاکنون تحقیقات زیادی برای تعیین  $R_\mu$  با توجه به عوامل مؤثر بر آن صورت گرفته است. بر این اساس مشخص گردیده است که این ضریب تابعی از دو متغیر اصلی یعنی شکل‌پذیری  $\mu$  و زمان‌تناوب سازه می‌باشد. تحقیقات نشان می‌دهد که در زمان‌تناوب‌های ارتعاشی بالاتر سازه‌ها این ضریب مستقل از زمان‌تناوب گردیده و برابر مقدار خود شکل‌پذیری می‌باشد. در محدوده زمان‌تناوب‌های کم این ضریب به شدت به زمان‌تناوب سازه واپسی می‌باشد به طوری که برای سازه‌های صلب ضریب شکل‌پذیری برابر یک می‌باشد.

در این تحقیق از رابطه پیشنهادی ناسار و کراوینکلر به دلیل لحاظ شدن فاکتورهای سازه‌ای از جمله مقدار سخت‌شوندگی کرنشی و زمان‌تناوب اصلی سازه استفاده شده است.

$$R_\mu = \frac{1}{[C(\mu - 1) + 1]C} \quad (2)$$

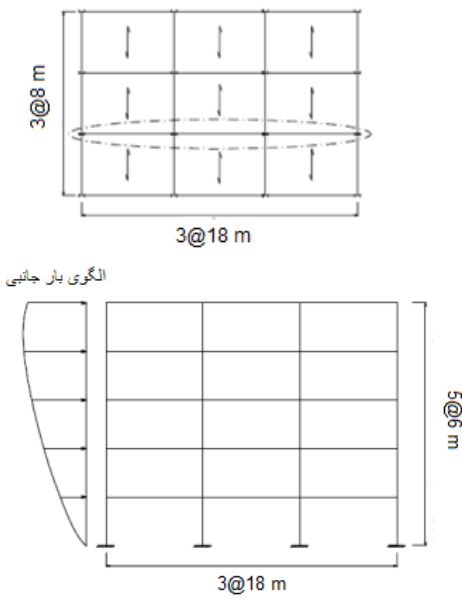
$$C(T, a) = \frac{T^a}{1 + T^a} + \frac{b}{T} \quad (3)$$

که  $T$  زمان تناوب اصلی سازه،  $a$  مقدار سخت‌شوندگی کرنشی و پارامترهای  $a$  و  $b$  بر حسب  $\alpha$  در جدول ۱ ارائه شده است [۱۴].

جدول ۱- پارامترهای مورد نیاز در رابطه ناسار و کراوینکلر [۱۴]

$\alpha$	a	b
۰/۰۰	۱/۰۰	۰/۴۲
۰/۰۲	۱/۰۰	۰/۳۷
۰/۱۰	۰/۸۰	۰/۲۹

قاب خمشی فولادی خرپایی ویژه با قطری‌های ضربدری و ویرندیل می‌باشد. به عنوان مثال مدل STMF 3-X-5-3 مربوط به نمونه قاب خمشی فولادی خرپایی ویژه با قطری‌های ضربدری دارای ۳ دهانه و ۵ طبقه می‌باشد که در شکل ۳ نشان داده شده‌اند.



شکل ۳- پلان و نمای کلی قاب‌های انتخابی تحت بارگذاری جانبی مثلثی

لازم به ذکر است طراحی اولیه کلیه قاب‌ها براساس ضوابط مربوط به طراحی قاب خمشی فولادی با شکل پذیری متوسط می‌باشد. به منظور تسهیل در فرایند محاسبات که در چند مرحله نیاز به تحلیل و اصلاح مقاطع قاب می‌باشد از آئینه‌نامه AISC-ASD89 که در نرم‌افزار مورد استفاده در این تحقیق (SAP2000 نسخه ۱۴) تعریف شده، استفاده شده است. جهت تعیین ضربیت برش پایه در بارگذاری‌های جانبی قاب‌ها استاندارد ۲۸۰۰ ایران [۶] استفاده شده است. براساس این استاندارد این ضربیت از رابطه (۶) بدست می‌آید.

$$C = \frac{ABI}{R} \quad (6)$$

که در آن  $A$  نسبت شتاب مبنای طرح؛  $B$  ضربیت بازتاب ساختمان؛  $I$  ضربیت اهمیت و  $R$  ضربیت رفتار سازه است.

است و تقریباً  $1/4$  تا  $1/7$  است. در صورت استفاده از آئینه‌نامه AISD-ASD در طراحی این ضربیت با رابطه (۵) تعریف می‌شود:

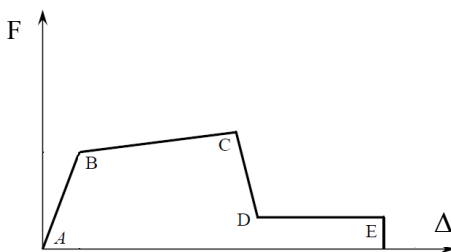
$$Y = \frac{V_s}{V_w} = \frac{R_w}{R_u} = \frac{\Delta_s}{\Delta_w} = \frac{M_p}{M_w} = \frac{Z F_y}{S(0.6 F_y) \times 1.33} \quad (5)$$

که در آن  $M_p$  لنگر پلاستیک مقاطع،  $M_w$  لنگر الاستیک مقاطع،  $Z$  اساس مقاطع پلاستیک و  $S$  اساس مقاطع الاستیک مقاطع و  $F_y$  تنش تسلیم فولاد می‌باشد. ضربیت  $1/33$  به علت افزایش تنش مجاز طراحی به هنگام استفاده از ترکیبات بار ناشی از نیروهای ثقلی و زلزله در طراحی به روش تنش مجاز است. نسبت  $\frac{Z}{S}$  برای مقاطع بال پهن تقریباً برابر  $1/15$  است [۱۶].

### ۳- مدل‌سازی

#### ۳-۱- طراحی مدل‌ها

براساس تئوری ارائه شده در بخش قبل، به منظور تعیین ضربیت رفتار قاب‌های فولادی خرپایی ویژه با تغییر پارامترهای مؤثر بر ضربیت رفتار شامل ارتفاع سازه، تعداد دهانه که معرف درجه نامعینی سازه می‌باشد، ضربیت مذکور مورد ارزیابی قرار گرفته است. در این تحقیق طیف نسبتاً گسترده‌ای از قاب‌های خمشی فولادی با تعداد دهانه‌های ۲ و ۳، تعداد طبقات ۳، ۴، ۵، ۶، ۷ و ۸ و نیز برای دو نوع قاب خمشی فولادی خرپایی ویژه با قطری‌های ضربدری و ویرندیل بررسی شده است. کلیه قاب‌های مورد بررسی، قاب میانی یک ساختمان می‌باشد که در آن طول کلیه دهانه‌ها یکسان و معادل ۱۸ متر و ارتفاع طبقات نیز ۶ متر درنظر گرفته شده است. فاصله دو قاب مجاور یا دهانه جانبی قاب‌ها نیز ۸ متر درنظر گرفته شده است. نام‌گذاری نمونه‌ها به صورت کلی STMF a-b-X و STMF a-b-V می‌باشد که در آن عدد  $a$  بیانگر تعداد دهانه،  $b$  معرف تعداد طبقات،  $X$  و  $V$  به ترتیب نوع



شکل ۴- مدل رفتاری استفاده شده در نرم افزار SAP2000 [۱۷]

در استاندارد ۲۸۰۰ همانند بسیاری از آئین‌نامه‌های دیگر ATC-3- ANSI-ASCE 7-95، ۱۹۹۶:۰۶ نظیر UBC-97؛ NEHRP-94؛ گزارش

ارتفاع سازه به صورت رابطه زیر می‌باشد:

$$F_i = \frac{W_i h_i^k}{\sum_{j=1}^N W_j h_j^k} V \quad (۷)$$

به طوری که  $W_i$  و  $h_i$  به ترتیب وزن و ارتفاع طبقه  $i$ م در بالای کف سازه (تراز پایه)،  $N$  تعداد طبقات،  $k$  توانی که تفاوت آئین‌نامه‌های لرزه‌ای را در توزیع بارگذاری نشان می‌دهد، می‌باشند. در این تحقیق، همان‌طوری که قبل اشاره شده است، الگوی بارگذاری جانبی مورد استفاده براساس رابطه (۷) متشی بوده که معادل ( $k=1$ ) می‌باشد. علاوه بر این در این تحقیق مطابق استاندارد ۲۸۰۰ [۶] معیار تغییرمکان نسبی برای حالت نهایی سازه منظور شده است، که این مقدار به صورت زیر در نظر گرفته شده است:

- برای قاب با زمان‌تناوب اصلی کمتر از  $0.7$  ثانیه

$$\Delta_m < 0.02H$$

- برای قاب با زمان‌تناوب اصلی بیشتر از  $0.7$  ثانیه

$$\Delta_m < 0.02H$$

که در رابطه‌ی بالا ( $H$ ) ارتفاع طبقات و ( $\Delta_m$ ) حد اکثر تغییرمکان نسبی طبقات (دریفت) در تحلیل غیرخطی می‌باشد.

لازم به ذکر است که در این تحقیق تحلیل سازه تا نقطه شکست که فراتر از حد ایمنی جانی سازه (LS) و نیز  $\Delta_m$  می‌باشد، ادامه پیدا نموده است.

در این تحقیق با توجه به نوع سازه مورد بررسی فرض شده است که  $A = 0.3$ ،  $I = 1$ ، زمین نوع III با  $T = 0.7$  و ضریب رفتار  $R = 6$  می‌باشد.

همچنین نسبت تنش (تنش موجود به تنش مجاز) در مقاطع نهایی طرح عمدتاً در فاصله ۰/۸۵ تا ۱ قرار می‌گیرند تا تشکیل و توزیع مفاصل پلاستیک در مقطع یکنواخت باشد.

#### ۲-۳- تحلیل غیرخطی مدل‌ها

در این تحقیق از روش تحلیل استاتیکی غیرخطی، یا همان روش (Pushover) تحت الگوی بارگذاری جانبی مثلثی، که منطبق بر بارگذاری استاندارد ۲۸۰۰ ایران می‌باشد، استفاده شده است.

لازم به ذکر است که در تحلیل کلیه قاب‌ها ابتدا یک الگوی بارگذاری به صورت صد درصد بار مرده و ۲۰ درصد بار زنده [۶] به سازه اعمال و سپس بار جانبی به صورت الگوی مثلثی و به صورت بارگذاری در گام‌های متوالی به سازه اعمال شده است.

تحلیل غیرخطی قاب‌های مورد بررسی با تخصیص یا پیش‌بینی مفاصل پلاستیک در محل‌های بحرانی اعضا یا نزدیک به آن صورت می‌پذیرد. رفتار غیرخطی مفاصل پلاستیک تخصیص یافته در اعضا مطابق آئین‌نامه FEMA-356 تعریف می‌گردد که توسط نرم‌افزار مورد استفاده SAP2000 قابل شناسائی می‌باشد. در شکل ۴ منحنی نیرو-تغییرمکان تعریف شده برای مفصل پلاستیک و منحنی استفاده شده در نرم‌افزار SAP2000 برای نمایش رفتار مفاصل پلاستیک مطابق آئین‌نامه FEMA-356 نشان داده شده است [۱۷].

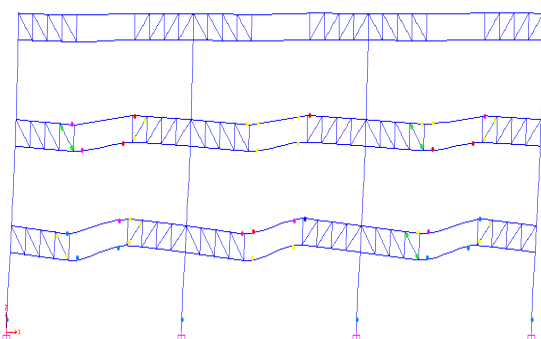
موقعیت مفصل پلاستیک برای ستون‌ها از نوع اندرکنشی نیروی محوری ( $P$ ) - لنگرخمشی ( $M_3$ ) یا ( $P - M_3$ ) یا ( $M_3$ ) و نیز برای تیرهای خرپایی ویژه قاب خمشی مفصل پلاستیک خمشی ( $M_3$ ) در ابتدا و انتهای اعضا معرفی شده‌اند.

مرحله‌ای است که سازه وارد محدوده غیرخطی شده و تغییرشکل بسیار بیشتری را از خود نشان می‌دهد. سپس این منحنی مطابق شکل ۲ به صورت دوخطی ایده‌آل شده و براساس آن نقاط کلیدی منحنی به شرح جدول ۲ ارائه گردیده است.

جدول ۲- مقادیر مختلف برش‌ها و تغییرمکان بام برای سازه سه طبقه برای قاب STM3-3-V به ازای  $R=6$

تحلیل خطی		اولین مفصل پلاستیک		نقطه تسليم کلی سازه	
$V_w$ (ton)	$\Delta_w$ (cm)	$V_s$ (ton)	$\Delta_s$ (cm)	$V_y$ (ton)	$\Delta y$ (cm)
۷۲/۲	۹/۶۴	۱۱۰	۱۶/۱	۱۳۳/۴۹	۲۲/۰۱

در شکل ۶ مفاصل پلاستیک در سازه مورد بررسی نشان داده شده است. همان‌طوری که در شکل ملاحظه می‌شود و در بخش‌های قبل نیز بیان گردید شروع تشکیل مفاصل پلاستیک از دهانه میانی تیر می‌باشد و در گام‌های بعدی تحلیل، مفاصل پلاستیک توسعه یافته و در آخرین مرحله در ستون‌ها تشکیل شده است. لازم به ذکر است که در شکل ۶ رنگ‌های آبی، آبی روشن و زرد به ترتیب معرف حد (Life) (IO) (Immediate Occupancy)، CP (Collapse Prevention) safety می‌باشد.



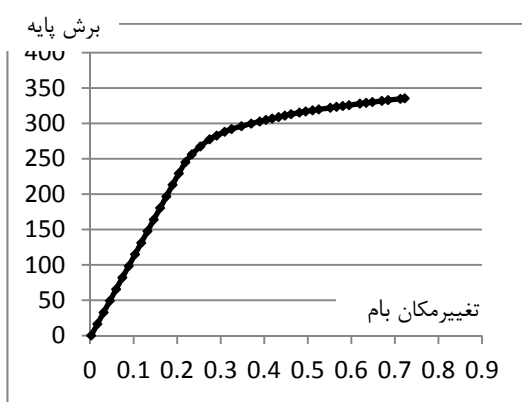
شکل ۶- مفاصل تشکیل شده در نمونه V-STM3-3 به ازای  $R=6$

به منظور تعیین ضریب کاهش شکل‌پذیری ابتدا براساس روابط (۲) و (۳) نیاز است که مقادیر  $T$  و  $\alpha$  مشخص شوند. مقدار  $T$  مطابق استاندارد ۲۸۰۰ ایران از رابطه زیر

لازم به ذکر است که علاوه بر معیار فوق‌الذکر معیارهای دیگری نظری تغییرمکان بام، ایجاد طبقه نرم یا مکانیسم شدن یک عضو در سازه نیز معرفی گردیدند. امویفی و النشایی نشان دادند که کنترل تغییرمکان نسبی طبقات، به عنوان معیار مکانیسم، بهتر از سایر معیارهای عنوان شده برای درنظرگرفتن پاسخ لرزه‌ای سازه‌های طراحی شده براساس آئین‌نامه‌های لرزه‌ای می‌باشد [۱۸].

#### ۴- نتایج عددی

در این تحقیق برای قاب خرپائی ویژه با قطری ضربدری و نیز ویرندیل هر کدام به تعداد ۱۲ نمونه مختلف به روش بازگزون تحلیل استاتیکی غیرخطی صورت پذیرفته و برای هر مدل ضریب رفتار بدست آمده است. شرح جزئیات محاسبات مربوط برای یک نمونه سازه سه طبقه با سه دهانه طراحی شده با قاب خمی فولادی خرپایی ویژه ویرندیل در این بخش ارائه می‌گردد. براساس پارامترهای معرفی شده برای ضریب برش‌پایه در بند ۱-۳ سازه طراحی و سپس آنالیز فرایینده غیرخطی استاتیکی صورت پذیرفته که نتایج تغییرات برش‌پایه بر حسب جابه‌جایی بام در شکل ۵ ارائه شده است.



شکل ۵- منحنی بار- تغییرمکان سازه V-STM3-3 به ازای  $R=6$

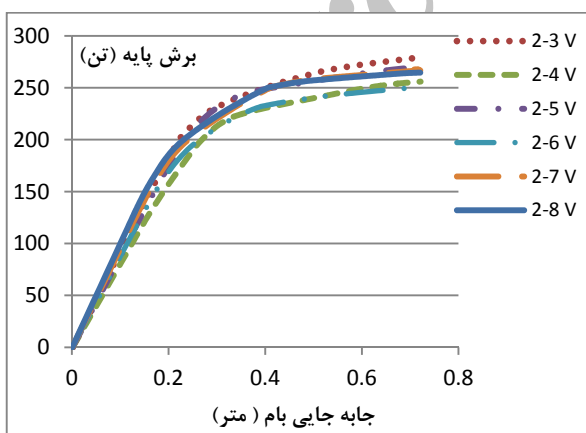
همان‌طوری که از شکل مشخص است در گام‌های اولیه بارگذاری، رفتار سازه خطی با تغییرشکل کمتر نسبت به

## ۵- ارزیابی مدل‌های مورد بررسی

باتوجه به مبانی تئوری ارائه شده در بخش‌های قبل، نتایج تحلیل‌های مختلف برای دو نوع قاب خمشی فولادی خرپایی ویژه ویرندیل و قطری‌های ضربدری به شرح ذیل می‌باشد.

### ۱-۵- نتایج تحلیل قاب خمشی فولادی خرپایی ویژه ویرندیل

منحنی‌های ظرفیت حاصل از تحلیل بارافزون قاب‌های خمشی فولادی خرپایی ویژه ویرندیل دو و سه دهانه در شکل‌های ۷ و ۸ نشان داده شده‌اند. همان‌طوری که از شکل‌های ۷ و ۸ مشخص می‌باشد، بر پایه حداکثر مربوط به قاب‌های دو دهانه، برای سازه‌های شش طبقه و برای قاب‌های سه دهانه، برای سازه سه طبقه، کمترین مقدار را دارد. از شکل‌های اشاره شده به وضوح پیداست که روند کیفی تغییرات بر پایه در ارتفاع قاب‌های مختلف به ازای دهانه ثابت تقریباً یکسان بوده و فقط مقادیر کمی آن‌ها از یکدیگر متفاوت می‌باشد.



شکل ۷- منحنی‌های ظرفیت سازه‌های دو دهانه قاب ویرندیل

و  $\alpha$  نیز مطابق بخش ۳-۱ برابر  $0/03$  درنظر گرفته شده است.

$$H = 18 \Rightarrow T = 0/08 H^{3/4} \rightarrow T = 0/7 \text{ sec} \quad (8)$$

باتوجه به مقدار  $T$  و  $\alpha$  درنظر گرفته شده مقدار  $C$  برابر با  $0/928$  به دست آمده است.

برای سازه مورد بررسی پارامترهای ضریب رفتار به شرح جدول ۳ می‌باشند. همان‌طور که از جدول ۳ مشخص است ضریب رفتار انتخاب شده ۶ در گام اول محاسبات به  $2/92$  تقلیل پیدا نموده است.

جدول ۳- ضریب رفتار سازه STM 3-3-V به ازای  $R=6$

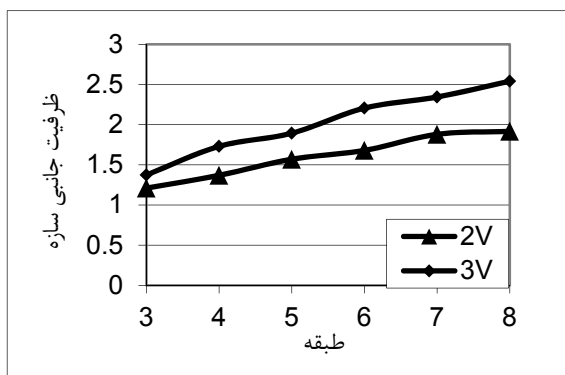
$\mu$	$R_\mu$	$R_s$	$R_{s.}$	$\gamma$	$R_W$
$1/48$	$1/46$	$1/2$	$1/386$	$1/44$	$2/92$

لازم به ذکر است که نحوه طراحی سازه و مقاطع انتخاب شده که خود را در ضرایب  $Y$  و اضافه مقاومت نشان می‌دهند در نحوه توزیع مقاصل پلاستیک در تحلیل بارافزون و متعاقباً در شکل پذیری و رفتار غیرخطی سازه تأثیر بهسزایی داشته و لذا در سازه‌های مختلف و حتی در تکرارهای مختلف بر روی یک سازه مشخص گاهای نتایج پراکنده‌ای را که از نظم خاصی تبعیت نمی‌کنند، نشان می‌دهند.

درنهایت برای سازه مزبور با تغییر و انتخاب ضریب رفتار از ۶ به  $2/92$  تحلیل و طراحی مجدداً مطابق آنچه در پیش گفته شد انجام شده و سازه مجدداً تحلیل بارافزون می‌گردد. عملیات ذکر شده تا همگرایی جواب‌ها که همان ضریب رفتار غیرخطی سازه می‌باشد، ادامه پیدا می‌کند. برای قاب خمشی فولادی خرپایی ویژه ویرندیل سه طبقه با سه دهانه طراحی شده با مقاطع موجود در بازار، تحت الگوی بارگذاری مثلثی ( $k=1$ )، پس از پنج مرحله تکرار طراحی، همگرایی اتفاق افتاده است.

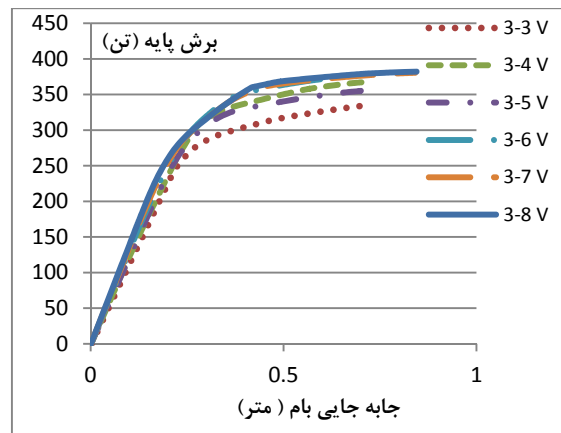
روند اشاره شده فوق برای هر دو نوع قاب‌های خمشی فولادی خرپایی ویژه ویرندیل و قطری‌های ضربدری برای کلیه نمونه‌های مورد بررسی مشابه می‌باشد.

در شکل ۱۰ منحنی تغییرات ظرفیت جانبی سازه بر حسب تعداد طبقات برای قاب‌های دو و سه دهانه نشان داده شده است. با توجه به شکل‌ها، با افزایش ارتفاع سازه ظرفیت جانبی سازه برای قاب سه دهانه با شبیه نسبتاً ثابتی افزایش می‌یابد که این امر به دلیل حاکم شدن نیروهای جانبی بر نیروهای ثقلی با افزایش ارتفاع سازه می‌باشد. اما در قاب دو دهانه در ترازهای ارتفاعی بلندتر تغییرات چندان محسوس نمی‌باشد. بیشترین مقدار ظرفیت سازه مربوط به قاب سه دهانه ۸ طبقه می‌باشد. علاوه بر این با توجه به این‌که در سازه سه دهانه نامعینی سازه بیشتر است انتظار می‌رود که ظرفیت جانبی سازه که ضریب نامعینی در آن پنهان می‌باشد نیز بیشتر باشد.



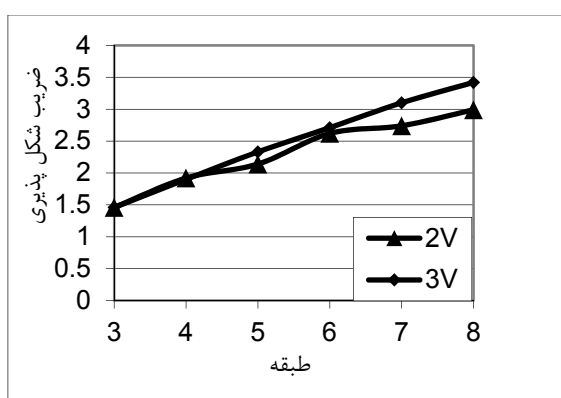
شکل ۱۰- ظرفیت جانبی سازه قاب‌های دو و سه دهانه ویرندیل

در شکل ۱۱ مقادیر ضریب رفتار سازه‌های دو دهانه و سه دهانه براساس رابطه (۱) نشان داده شده است. با توجه به نتایج به دست آمده ملاحظه می‌شود که ضریب رفتار به دست آمده با افزایش ارتفاع سازه افزایش می‌یابد. در قاب‌های سه دهانه و بلندتر از پنج طبقه روند تغییرات بیشتر از قاب‌های دو دهانه مشابه می‌باشد. این روند تاحد زیادی همانند ضریب شکل‌پذیری است.

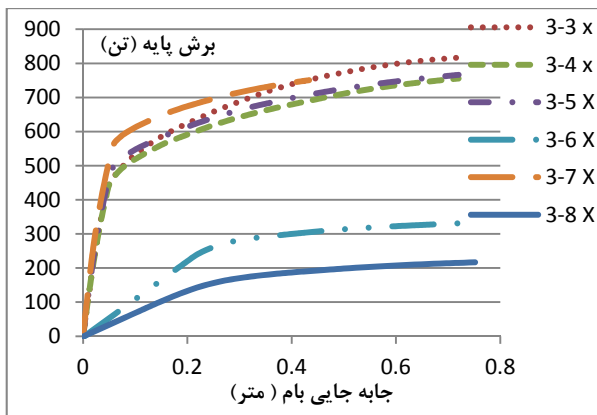


شکل ۸- منحنی‌های ظرفیت سازه‌های سه دهانه قاب ویرندیل

در شکل ۹ نمودار ضریب شکل‌پذیری قاب‌های دو و سه دهانه نشان داده شده است. نتایج نشان می‌دهد که با افزایش تعداد طبقات از ۳ تا ۵، شکل‌پذیری قاب ویرندیل دو دهانه با یک شبیه نسبتاً ثابت افزایش یافته در حالی که برای سازه‌های ۶ و ۷ طبقه تغییرات محسوسی ملاحظه نمی‌شود. شکل‌پذیری قاب ویرندیل سه دهانه با افزایش تعداد طبقات از ۳ تا ۸ با یک شبیه نسبتاً ثابت افزایش می‌یابد. علاوه بر این مقایسه منحنی برای قاب‌های دو و سه دهانه نشان می‌دهد که در قاب‌های سه دهانه ضریب شکل‌پذیری بیشتر از قاب‌های دو دهانه می‌باشد. شدت این افزایش برای ترازهای ارتفاعی کوتاه‌تر کمتر می‌باشد. لذا براساس تحلیلهای انجام‌شده می‌توان نتیجه گرفت که به‌طور کلی شکل‌پذیری سازه با افزایش ارتفاع و دهانه افزایش می‌یابد.



شکل ۹- ضریب کاهش شکل‌پذیری قاب‌های دو و سه دهانه ویرندیل



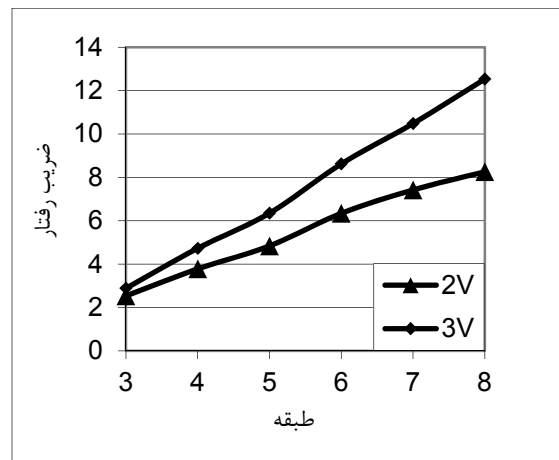
شکل ۱۳- منحنی‌های ظرفیت سازه‌های سه دهانه قاب

ضربدری

در شکل ۱۴ متوسط مقادیر شکل‌پذیری برای قاب‌های دو دهانه و سه‌دهانه نشان داده شده است. قابل ملاحظه است که بیشترین مقدار شکل‌پذیری مربوط به قاب سه دهانه و کمترین میزان مربوط به قاب دو دهانه می‌باشد. ضمناً با افزایش تعداد طبقات بهدلیل کاهش صلابت جانبی قاب، شکل‌پذیری سازه افزایش می‌یابد. نتایج نشان می‌دهد که با افزایش ارتفاع سازه شکل‌پذیری به‌دست آمده با شبیه تقریباً ثابتی افزایش می‌یابد ضمن این‌که برای قاب‌های ۵ طبقه دو و سه دهانه حداکثر برش‌پایه مقدار تقریباً یکسانی دارد.

شکل ۱۵ نیز ظرفیت جانبی سازه‌های مورد بررسی را نشان می‌دهد و بیانگر آن است که ظرفیت جانبی سازه در قاب‌های ۳، ۴ و ۵ طبقه برابر است ولی در ترازهای ارتفاعی بالاتر قاب‌های سه دهانه مقادیر بزرگتری دارند. بیشترین مقدار ظرفیت جانبی سازه مربوط به قاب سه طبقه می‌باشد. علاوه بر این مقادیر اضافه مقاومت (ظرفیت جانبی سازه) برخلاف قاب خمشی فولادی خرپایی ویژه ویرندیل با افزایش ارتفاع روند نزولی دارد.

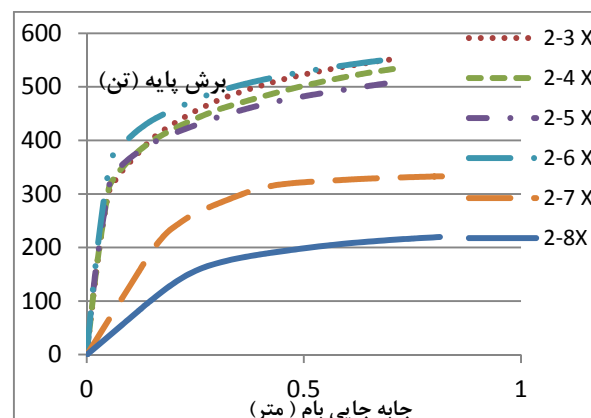
در شکل ۱۶ متوسط مقادیر ضریب رفتار ( $R$ ) قاب دو و سه دهانه با قطری‌های ضربدری نشان داده شده است که بیانگر این مهم می‌باشد که قاب سه دهانه به‌جز در تراز ارتفاعی ۵ طبقه در سایر قاب‌ها ضریب رفتار بیشتری نسبت به قاب دو دهانه از خود نشان می‌دهد. همچنین



شکل ۱۱- ضریب رفتار سازه‌های قاب خمشی فولادی خرپایی ویژه ویرندیل

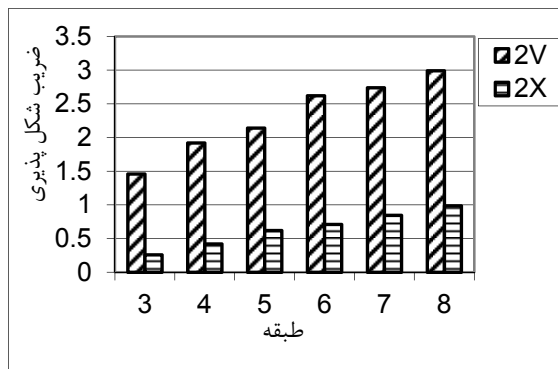
#### ۵-۲-۵- نتایج تحلیل قاب خمشی خرپایی ویژه با قطری‌های ضربدری

نتایج حاصل از تحلیل بار افزون قاب‌های خمشی فولادی خرپایی ویژه با قطری‌های ضربدری دو و سه دهانه در شکل‌های ۱۲ و ۱۳ نشان داده شده‌اند. با توجه به منحنی ظرفیت ملاحظه می‌شود که حداکثر برش‌پایه در قاب‌های دو و سه دهانه مربوط به سازه‌های ۷ و ۸ طبقه، مقادیر کمتری دارند. این در حالی است که در سازه‌های کوتاه‌تر مقادیر حداکثر برش‌پایه بزرگ‌تر و تقریباً مشابه می‌باشند.

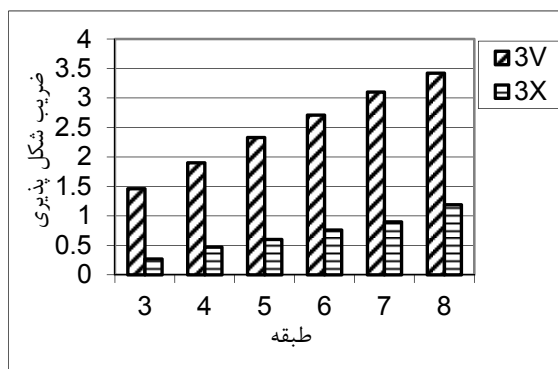


شکل ۱۲- منحنی‌های ظرفیت سازه‌های دو دهانه قاب ضربدری

در شکل ۱۷ و ۱۸ نمودار ضریب شکل‌پذیری سازه‌ها ارائه شده است. شکل‌ها نشان می‌دهند که ضریب شکل‌پذیری در قاب‌های ویرندیل بیشتر از قاب‌های ضربدری است. همچنین در تمام قاب‌ها با افزایش ارتفاع شکل‌پذیری افزایش می‌یابد.



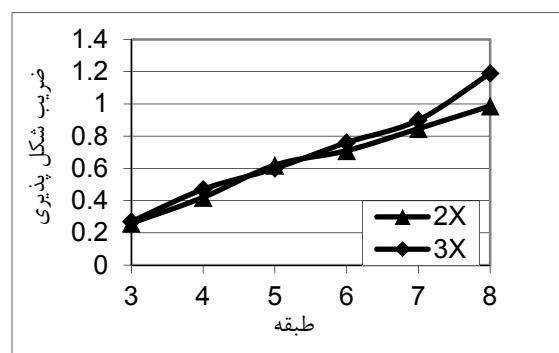
شکل ۱۷- مقایسه ضریب شکل‌پذیری سازه‌های دو دهانه قاب‌های ویرندیل و قطری‌های ضربدری



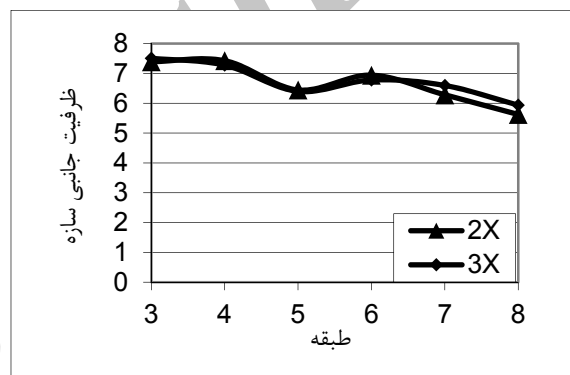
شکل ۱۸- مقایسه ضریب شکل‌پذیری سازه‌های سه دهانه قاب‌های ویرندیل و قطری‌های ضربدری

در شکل‌های ۱۹ و ۲۰ نمودار ضریب رفتار سازه‌ها ارائه شده است. با مقایسه نتایج و در حالت کلی با صرف نظر از برخی نتایج می‌توان نتیجه گرفت که مقادیر ضریب رفتار بدست آمده برای هر دو نوع قاب خمشی طراحی شده ۶ تا ۸ طبقه در این تحقیق بیشتر از مقادیر آئین‌نامه‌ای ( $R = 6$ ) برای قاب خمشی با شکل‌پذیری متوسط می‌باشد. نتایج همچنین نشان می‌دهد که ضریب رفتار قاب خمشی فولادی خرپایی ویژه ویرندیل (STMF-V) نسبت به قاب خمشی فولادی خرپایی ویژه قطری‌های ضربدری (STMF-X) بیشتر می‌باشد. اختلاف

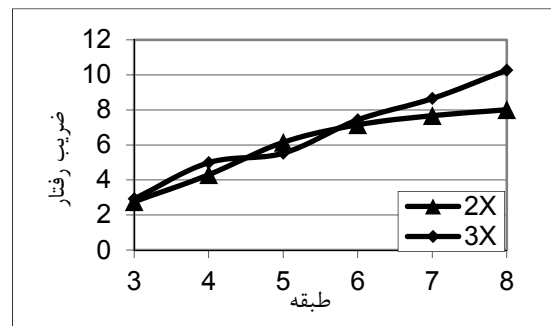
رونده تغییرات در قاب‌های ۷ و ۸ طبقه دو دهانه ناچیز می‌باشد.



شکل ۱۴- ضریب شکل‌پذیری قاب خمشی فولادی با قطری‌های ضربدری دو و سه دهانه



شکل ۱۵- ظرفیت جانبی قاب خمشی فولادی با قطری‌های ضربدری دو و سه دهانه



شکل ۱۶- ضریب رفتار سازه‌های قاب خمشی فولادی با قطری‌های ضربدری دو و سه دهانه

### ۳-۵- مقایسه نتایج برای قاب‌های ویرندیل و ضربدری

به منظور مقایسه نتایج و عملکرد دو نوع سازه ویرندیل و ضربدری در این قسمت نتایج بدست آمده از دو بخش قبلی با یکدیگر مقایسه می‌شوند.

## ۶-نتیجه‌گیری

در این تحقیق قاب‌های خمشی فولادی خرپایی ویژه ویرندیل و با قطری‌های ضربدری با شکل‌پذیری متوسط تحت الگوی بارگذاری مثلثی طراحی و سپس به روش بار افزون تحلیل استاتیکی فزاینده غیرخطی به منظور تعیین ضریب شکل‌پذیری، ضریب اضافه مقاومت و نیز ضریب رفتار صورت پذیرفته و نتایج زیر حاصل گردید.

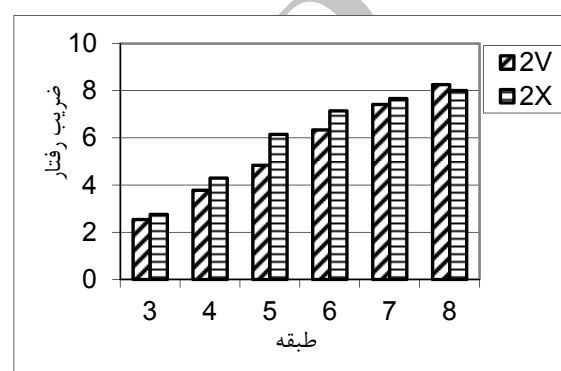
۱. برای هر دو نوع قاب مورد بررسی ضربدری و ویرندیل شکل‌پذیری قاب‌های سه دهانه بیشتر از شکل‌پذیری قاب‌های دو دهانه می‌باشد. با افزایش تعداد طبقات به دلیل کاهش صلبیت جانبی قاب، شکل‌پذیری سازه در هر دو نوع قاب ویرندیل و با قطری‌های ضربدری افزایش می‌یابد. شکل‌پذیری قاب‌های از نوع ضربدری حدود ۲۰ الی ۳۰ درصد قاب‌های از نوع ویرندیل می‌باشد.

۲. ظرفیت جانبی سازه ( $R_{s0}$ ) قاب خمشی ویرندیل دو و سه دهانه با افزایش ارتفاع سازه افزایش می‌یابد در حالی که این مقدار برای قاب خمشی با قطری‌های ضربدری با افزایش ارتفاع سازه کاهش می‌یابد. ظرفیت جانبی قاب‌های ویرندیل تحت الگوهای بارگذاری مثلثی حدود ۱۸ الی ۳۵ درصد قاب ضربدری می‌باشد.

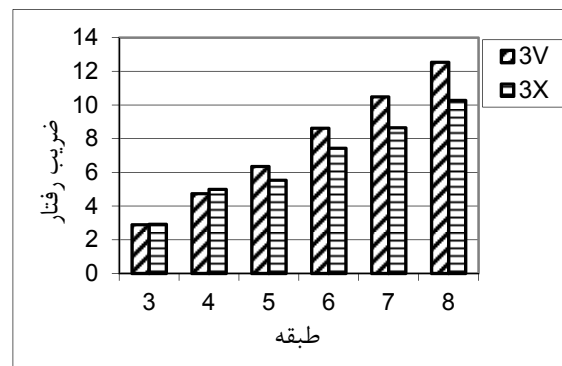
۳. مقادیر ضریب رفتار به دست آمده برای هر دو نوع قاب خمشی طراحی شده ۶ تا ۸ طبقه در این تحقیق بیشتر از مقادیر آئین‌نامه‌ای  $R=6$  و برای سازه ۳ تا ۵ طبقه کمتر از مقادیر آئین‌نامه‌ای برای قاب خمشی با شکل‌پذیری متوسط می‌باشد که علت عدمه آن، تفاوت مولفه شکل‌پذیری ضریب رفتار می‌باشد. بنابراین قاب‌های خمشی فولادی خرپایی ویژه ویرندیل شکل‌پذیرتر از قاب‌های خمشی فولادی خرپایی ویژه با قطری‌های ضربدری می‌باشند.

۴. ضریب رفتار قاب ویرندیل بیشتر از ضریب رفتار قاب ضربدری می‌باشد که معرف عملکرد لرزه‌ای مناسب‌تر این سازه‌ها می‌باشد. به طور کلی مقادیر ضریب رفتار به دست آمده برای سیستم قاب ضربدری تحت تأثیر بیشتری از

بین ضریب رفتار STMF-X و STMF-V برای قاب‌های دو دهانه در طبقات پایین و در قاب‌های سه دهانه در طبقات بالا مقدار حداکثر را دارد. به خوبی مشاهده می‌شود که علت عدمه آن تفاوت مولفه شکل‌پذیری ضریب رفتار است. بنابراین با یک نگاه کلی می‌توان سیستم‌های طراحی شده با قاب خمشی فولادی خرپایی ویژه ویرندیل را شکل‌پذیرتر از سیستم‌های طراحی شده با قاب خمشی فولادی خرپایی ویژه با قطری‌های ضربدری دانست.



شکل ۱۹- مقایسه ضریب رفتار سازه‌های دو دهانه قاب‌های ویرندیل و قطری‌های ضربدری



شکل ۲۰- مقایسه ضریب رفتار سازه‌های دو دهانه قاب‌های ویرندیل و قطری‌های ضربدری

باتوجه نتایج ارائه شده پیکربندی بهینه برای قاب خمشی ویژه، قاب خمشی فولادی خرپایی ویژه ویرندیل می‌باشد زیرا ضریب رفتار و شکل‌پذیری بیشتری نسبت به قاب‌های مشابه ولی با قطری‌های ضربدری از خود نشان می‌دهد.

جانی هم می‌تواند در تغییر رفتار سازه تأثیرگذار باشد که در موقع تحلیل غیرخطی سازه این مهم نیز لحاظ شده است.

ضریب اضافه مقاومت نسبت به ضریب شکل‌پذیری می‌باشد.

۵. علاوه بر هندسه سازه (طبقات و دهانه) متغیرهایی مانند افزایش تعداد مفاصل تا رسیدن به سطح ایمنی

## مراجع

- [1] Goel, S.C., Itani, A.M. (1994). "Seismic behavior of open-web truss-moment frames". Journal of Structural Engineering, Vol. 120, No. 6, pp. 1763-1780.
- [2] Goel, S.C., Itani, A.M. (1994). "Seismic-resistant special truss-moment frames". Journal of Structural Engineering, Vol. 120, No. 6, pp. 1781-1797.
- [3] Basha, H.S., Goel, S.C. (1995). "Special truss moment frames with Vierendeel middle panel". Engineering structures, Vol. 17, No. 5, pp. 352-358.
- [4] IBC, (2000). "International Building Code". International Code Council, Falls Church, VA.
- [5] AISC, (2005). "Seismic provisions for structural steel buildings". ANSI/AISC 341-05, American Institute of Steel Construction, Chicago, Illinois.
- [6] کمیته دائمی بازنگری آیین‌نامه طراحی ساختمان‌ها در برابر زلزله، (۱۳۸۴). "آیین‌نامه طراحی ساختمان‌ها در برابر زلزله". استاندارد ایران، ویرایش سوم، تهران، مرکز تحقیقات ساختمان و مسکن. ۲۸۰۰
- [7] Uang, C.M. (1991). "Establishing R (or  $R_w$ ) and Cd factors for building seismic provisions". Structural Engineering (ASCE), Vol. 117, No. 1, pp. 19-28.
- [8] Freeman, S.A. (1990). "On the correlation of code forces to earthquake demands". Proceedings of the 4<sup>th</sup> U.S. Japan Workshop on the Improvement of Building Structural Design and Construction Practices, ATC-15-3, pp. 245-268.
- [9] Maher, M.R., Akbari, R. (2003). "Seismic behavior factor, R, for steel X-braced and knee-braced RC buildings". Engineering Structures, Vol. 25, No. 12, pp. 1505-1513.
- [10] Balendra, T., Huang, X. (2003). "Overstrength and ductility factors for steel frames designed according to BS 5950". Structural Engineering (ASCE), Vol. 129, No. 8, pp. 1019-1035.
- [11] Asgarian, B., Shokrgozar, H.R. (2009). "BRBF response modification factor". Journal of constructional steel research, Vol. 65, No. 2, pp. 290-298.
- [12] Kim, J., Choi, H. (2005). "Response modification factors of chevron-braced frames". Engineering Structures, Vol. 27, No. 2, pp. 285-300.
- [13] وانقی امیری، ج، اسماعیل تبار نشلی، پ. (۱۳۹۰). "بررسی پارامترهای لرزه‌ای قاب فولادی شورون با میراگر اصطکاکی پال". ششمین کنگره ملی مهندسی عمران، ۶ تا ۷ اردیبهشت، سمنان.
- [14] Nassar, A.A., Osterass, J.D., Krawinkler, H. (1992). "Seismic design based on strength and ductility demands". Proceedings of the Tenth world Conference on Earthquake Engineering, Vol. 10, pp. 5861-5866.
- [15] Schmidt, B.J., Bartlett, F.M. (2002). "Review of resistance factor for steel: resistance distributions and resistance factor calibration". Canadian Journal of Civil Engineering, Vol. 29, No. 1, pp. 109-118.
- [۱۶] تقی نژاد، ر. (۱۳۸۸). "طراحی و بهسازی لرزه‌ای سازه‌ها براساس عملکرد با استفاده از تحلیل پوش اور SAP2000-ETABS". تهران، نشر کتاب دانشگاهی.
- [17] FEMA-356, (2000). "Prestandard and commentary for the seismic rehabilitation of buildings". Federal Emergency Management Agency, Washington, D.C.

- [18] Mwafy, A.M., Elnashai.A.S. (2002). "Calibration of force reduction factor of RC building". Earthquake Engineering, Vol. 6, No. 22, pp. 239-273.

Archive of SID